

3.2 破壊性状

図-4に各試験体の実験終了後の破壊性状を示す。P-Nは段落し部付近で鉄筋のほぼ全てが座屈し、数本が破断していた。かぶりコンクリートは段落し部から下方に広範囲に剝落している。また、段落し部付近では、壁厚方向の曲げひびわれが中央部付近から斜め45°方向に進展しているのがわかる。

P-Aでは、終局時に段落し近傍でシートの繊維を織っている細糸が水平方向に裂け、その破断部を押し広げるように若干のかぶりコンクリートが突出しており、その位置で鉄筋が座屈している。壁厚方向のひびわれは、段落し部付近の補強区間においては、水平方向の曲げひびわれのみで基部では曲げひびわれと斜めせん断ひびわれが発生している。

以上より、本補強によりP-Nで生じた段落し部近傍の斜めひびわれの発生や損傷が緩和され、靱性能が大きく向上したことがわかる。

3.3 靱性能

図-5に等価剛性と変位振幅の関係を示す。等価剛性は各変位振幅の正負1回目の荷重-変位関係を用いて算出した。図より、等価剛性は両試験体ともに載荷振幅の増加に伴い指数関数的に減少していくことがわかる。また、当初はP-Nが20%程度大きいですが、変位振幅が大きくなるにつれて差が縮まり、6 δ_y でP-Aが大きくなることから、本補強により等価剛性の低下を抑制できることがわかる。

図-6に吸収エネルギー量と変位振幅の関係を示す。吸収エネルギーは、各変位振幅の正負の平均値とした。P-Aでは終局の7 δ_y まで線形に増加しているが、P-Nでは5 δ_y までは線形に増加しているものの、6 δ_y でエネルギー吸収量の伸びが小さくなっている。また吸収エネルギーと変位振幅のなす勾配を比較すると、明らかにP-Aが大きいことがわかる。終局時での吸収エネルギーはP-Aで約97kJ、P-Nで約63.7kJであり、補強することにより1.5倍以上吸収エネルギーが増加していることがわかる。

3.4 シートと貫通鉄筋の歪

図-7に段落し位置におけるシートの壁正面中央部と壁側面中央部の周方向歪と、貫通鉄筋中央の歪分布を示す。側面部のシート及び貫通鉄筋の歪分布を比較すると、変位振幅の増加に対して貫通鉄筋歪がシートより若干大きな値を示しており、側面部に比較して断面中央部のはらみ出しが大きく、貫通鉄筋による拘束効果が大きいことがわかる。また、断面中央部のシートの歪分布より、4 δ_y 程度の段階までは壁面を巻き付けることによる拘束効果はほとんど零であること、その後は、はらみ出しとともに拘束効果が出現していることがわかる。

4. まとめ

実験の結果、提案する段落し部AFRPシート巻き付け工法により1.5倍程度以上のエネルギー吸収能力の向上が見込め、大きな変位振幅まで安定して載荷重を保持できることが明らかとなった。

表-1 実験結果一覧

試験体名	変位 (cm)		荷重 (kN)						終局時	終局靱性率 (δ_u/δ_y)	
	δ_y	δ_u	P_y			P_u					P_{max} 最大値
			正	負	平均	正	負	平均			
P-N	2.02	13.85	398.9	366.6	382.8	390.2	431.5	410.9	563.2	6 δ_y	6.86
P-A	2.58	19.02	410.4	405.1	407.8	560.7	532.7	546.4	592.1	7 δ_y	7.37

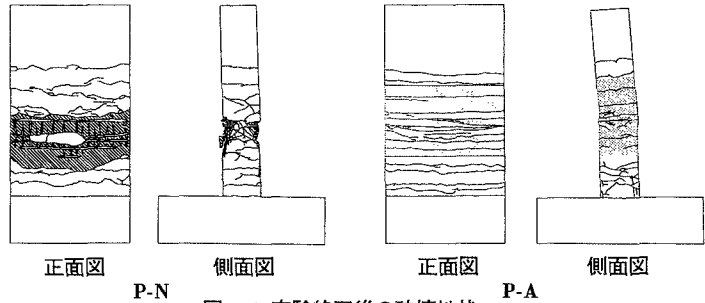


図-4 実験終了後の破壊性状

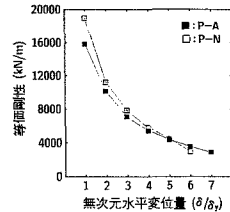


図-5 等価剛性と変位振幅の関係

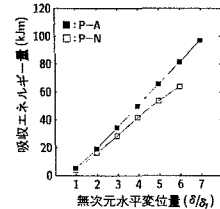


図-6 吸収エネルギー量と変位振幅の関係

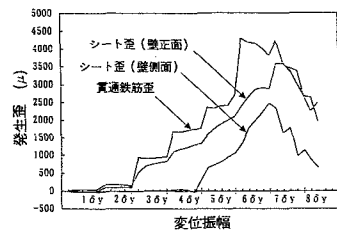


図-7 シートと貫通鉄筋の歪分布